

Segurança de Esquemas de Hash de Senhas (*Password Hashing Schemes* – PHSs)

Ewerton R. Andrade

ewerton.andrade@unir.br

DACC - Departamento Acadêmico de Ciência da Computação
UNIR - Fundação Universidade Federal de Rondônia

19 de outubro de 2020

Agenda

1 Introdução

- Entropia
- Ataque de força bruta
- Tabelas de consulta

2 Plataformas de Ataque

- *Graphics Processing Units (GPUs)*
- *Field Programmable Gate Arrays (FPGAs)*

3 Complexidade de Alguns Ataques

- PBKDF2
- BCrypt
- SCrypt
- Lyra

4 Considerações Finais

- PHS ao longo dos anos
- Funções utilizadas internamente
- Conclusões

Agenda

1 Introdução

- Entropia
- Ataque de força bruta
- Tabelas de consulta

2 Plataformas de Ataque

- *Graphics Processing Units (GPUs)*
- *Field Programmable Gate Arrays (FPGAs)*

3 Complexidade de Alguns Ataques

- PBKDF2
- BCrypt
- SCrypt
- Lyra

4 Considerações Finais

- PHS ao longo dos anos
- Funções utilizadas internamente
- Conclusões

Entropia

- A entropia de uma senha é uma **medida da incerteza** do valor daquela senha, sendo expressa em bits;
- Quanto maior a entropia de uma senha, mais difícil se torna para um atacante descobri-la, pois existe um número maior de combinações possíveis [BDP06];
- Considerando uma senha de l caracteres, escolhidos aleatoriamente de um alfabeto b , então [BDP06]:

$$\text{Entropia} = \log_2(b^l)$$

Entropia de senhas escolhidas por usuários

- O cálculo da entropia de senhas escolhidas por usuários, entretanto, se dá de maneira diferente, pois os caracteres em questão **não possuem uma distribuição aleatória**;
- Para realizar o cálculo desta entropia, pode-se usar o conjunto de regras definido pelo NIST [BDP06]:
 - A entropia do primeiro caractere é definida com sendo 4 bits;
 - A entropia dos próximos sete caracteres é definida como sendo 2 bits por caractere;
 - Do nono ao vigésimo carácter, a entropia é de 1,5 bits por caractere;
 - A partir do vigésimo primeiro caractere, a entropia é de 1 bit por caractere;
 - Se são utilizados caracteres em caixa alta e símbolos não alfabéticos, são adicionados 6 bits à entropia;
 - Se for realizada uma verificação da senha contra um dicionário de senhas comuns, são adicionados mais 6 bits ao valor da entropia.

Entropia em algumas páginas da Internet [FH07]

- Média de entropia de páginas na Internet é de apenas **40,54 bits**;
- Páginas mais sensíveis como *paypal*, possuem uma entropia média de **42,04 bits**;
- A página *Microsoft Outlook Web App* (OWA) possui regras que obrigam a escolha de uma senha segura, e com isto obteve a média de **51,36 bits** de entropia.

Nível básico de segurança costuma ser de **128 bits**.

Ataque de força bruta

- Neste tipo de ataque **não há uma limitação da quantidade de tentativas**, diferentemente de uma autenticação online, em que se poderia **bloquear a senha após algumas tentativas incorretas** [CDW04];
- Nas primeiras versões do Unix por exemplo, era armazenado o *hash* das senhas em arquivo, utilizando uma função não reversível chamada *crypt*.
- Com o aumento do poder computacional, se tornou “relativamente barato” descobrir as senhas dos usuários de Unix, **simplesmente** calculando o *hash* de todas as senhas possíveis e comparando-o com os valores armazenados [PM99].

Tabelas de consulta

- **Tabelas de consulta** visam trocar tempo de processamento por memória, nos permitindo recuperar o texto original (*plaintext*) de uma senha através da busca do valor de seu *hash*. *Hash* este, gerado a partir de uma função criptográfica (função de *hash*, por exemplo: MD5, SHA-1, SHA-2, etc).

Tabelas de consulta – Exemplo

Valor do Hash	Texto Original
d577273ff885c3f84dad8b8578bb41399	12345
165969f0f64edac96aa92b15463e9ec8	minhasenha
e8eaffd121b603c9c62029ffe6a306d3	123senha
ffca61e8725743f630ec39d5e0d2b655	12/10/1965
fc83f799d71a3eb160d7d34444871dbd	maria

Tabela: Tabela de consulta (MD5).

Valor do Hash	Texto Original
f33ae3bc9a22cd7564990a794789954409977013966fb1a8f43c35776b833a95	12345
1625d17edbd9f93dad0e5c4a562d2aeadad5d44a0dbb6a1f8457768ba8f2785f	minhasenha
a72ffd5bea8c370cf6396e7bc040f8977f9082be9d3b0cbd73d8a835dde87b3f	123senha
5231e56b40dfb4863437d98c157533bfaf8412b2b1775892477fc26a41d4a2e6	12/10/1965
6738ef1b0509836ea7a0fcc2f31887930454c96bb9c7bf2f6b04adbe2bb0d290	maria

Tabela: Tabela de consulta (SHA2-256).

Tabelas de consulta – Exemplo

Valor do Hash	Texto Original
d577273ff885c3f84dadb8578bb41399	12345
165969f0f64edac96aa92b15463e9ec8	minhasenha
e8eaffd121b603c9c62029ffe6a306d3	123senha
ffca61e8725743f630ec39d5e0d2b655	12/10/1965
fc83f799d71a3eb160d7d34444871dbd	maria

Tabela: Tabela de consulta (MD5).

Usuário	Valor do Hash	e-mail
Joao1970	3cd7a0db76ff9dca48979e24c39b408c	joao@uol.com.br
JoseDaSilva	fc83f799d71a3eb160d7d34444871dbd	josedasilva@gmail.com
Antonio	05c3f4a5ece94ee4788ba349504618a0	antonio1970@globo.com

Tabela: Tabela de Usuários em um Banco de Dados.

Tabelas de consulta – Exemplo

Valor do Hash	Texto Original
d577273ff885c3f84dadb8578bb41399	12345
165969f0f64edac96aa92b15463e9ec8	minhasenha
e8eaffd121b603c9c62029ffe6a306d3	123senha
ffca61e8725743f630ec39d5e0d2b655	12/10/1965
fc83f799d71a3eb160d7d34444871dbd	maria

Tabela: Tabela de consulta (MD5).

Usuário	Valor do Hash	e-mail
Joao1970	3cd7a0db76ff9dca48979e24c39b408c	joao@uol.com.br
JoseDaSilva	fc83f799d71a3eb160d7d34444871dbd	josedasilva@gmail.com
Antonio	05c3f4a5ece94ee4788ba349504618a0	antonio1970@globo.com

Tabela: Tabela de Usuários em um Banco de Dados.

Tabelas de consulta – *salt*

- A fim de **impedir o funcionamento das “Rainbow Tables”**, adiciona-se ao cálculo da chave derivada um valor aleatório, chamado de *salt*;
- Por exemplo, o cálculo de *hash* usando o *salt* poderia ser feito como:

$$H(\textit{senha}||\textit{salt})$$

onde $||$ representa a operação de concatenação e H representa a função de *hash* escolhida.

Agenda

1 Introdução

- Entropia
- Ataque de força bruta
- Tabelas de consulta

2 Plataformas de Ataque

- *Graphics Processing Units (GPUs)*
- *Field Programmable Gate Arrays (FPGAs)*

3 Complexidade de Alguns Ataques

- PBKDF2
- BCrypt
- SCrypt
- Lyra

4 Considerações Finais

- PHS ao longo dos anos
- Funções utilizadas internamente
- Conclusões

Plataformas de Ataque

- As principais ameaças dos PHSs são as plataformas que se beneficiam de **hardwares massivamente paralelo** e altamente escalável e sejam relativamente baratos;
- Nesta linha, os exemplos mais proeminentes são Unidades de Processamento Gráfico (**GPUs**) e hardware personalizado a partir de **FPGAs** [DGK12].

GPUs – Marcos evolutivos

- Com o aumento da procura de **renderização de alta definição** em tempo real, tradicionalmente realizado um grande número de núcleos de processamento, fizeram com que as GPUs aumentassem sua capacidade de paralelização;
- Mais recentemente, GPUs evoluíram de apenas **plataformas específicas para dispositivos de computação universal**. Começando a dar suporte a linguagens como CUDA[Nvi12a] e OpenCL [Khr12], que ajudam a aproveitar o seu poder computacional;
- Com isto, as GPUs começaram a ser utilizadas para fins mais genéricos, incluindo a **quebra de senha** [Spr11, DGK12].

GPUs – Alguns exemplos

NVidia Tesla K20X [Nvi12b]:

- 2.688 núcleos de 732 MHz;
- 6 GB de DRAM compartilhada, com 250 GB/s de taxa de transferência.

NVidia GT540M (do meu notebook):

- 96 núcleos de 900 MHz;
- 2 GB de DRAM compartilhada, com 28,8 GB/s de taxa de transferência.

GPUs – Possível cenário

Suponha um cenário em que o adversário disponha de uma NVidia Tesla K20X.

- Caso os senhas sejam armazenadas utilizando apenas a função de *hash* MD5 aplicado no texto legível, onde a função MD5 leve apenas **2 ms para ser executada**, consumindo somente **0.5 MB de memória**.

GPUs – Possível cenário

Suponha um cenário em que o adversário disponha de uma NVidia Tesla K20X.

- Caso os senhas sejam armazenadas utilizando apenas a função de *hash* MD5 aplicado no texto legível, onde a função MD5 leve apenas **2 ms para ser executada**, consumindo somente **0.5 MB de memória**.

Neste cenário é fácil perceber que o adversário testará 2.688 senhas a cada dois ms.

Resultando em 1.344.000 senhas testada por segundo, ou seja,
 $4.838.400.000 \approx 2^{32,17}$ senhas testadas por hora.

GPUs – Possível cenário

Suponha um cenário em que o adversário disponha de uma NVidia Tesla K20X.

- Caso os senhas sejam armazenadas utilizando apenas a função de *hash* MD5 aplicado no texto legível, onde a função MD5 leve apenas **2 ms para ser executada**, consumindo somente **0.5 MB de memória**.

Neste cenário é fácil perceber que o adversário testará 2.688 senhas a cada dois ms.

Resultando em 1.344.000 senhas testada por segundo, ou seja,
 $4.838.400.000 \approx 2^{32,17}$ senhas testadas por hora.

Todavia, **se algum PHS que utilize 20 MB de RAM** for utilizado no lugar da função de *hash* MD5, o número máximo de núcleos que podem ser utilizados simultaneamente, torna-se 300, apenas 11 % do total de núcleos disponível.

FPGA – Conceito Geral

- Um FPGA é um circuito integrado programável de alta performance;
- Como esses dispositivos são configurados para executar uma tarefa específica, eles **podem ser otimizados** para um determinado fim (por exemplo, usando pipelining [Dan08, KMM⁺06]);
- Além disto, quando comparado com as GPUs, FPGAs pode ser vantajosas devido seu **consumo de energia consideravelmente menor** [CMHM10, FBCS12].

FPGA – Recente exemplo de quebra de senhas [DGK12]

- Devido ao **pequeno consumo de memória** do algoritmo PBKDF2, sendo que a maioria do funcionamento básico envolve a função SHA-2, que é realizada usando o cache de memória do dispositivo (muito mais rápido do que o DRAM) [DGK12, Sec. 4.2];
- Dürmuth *et al*, usando um cluster RIVYERA S3-5000 [Sci] com 128 FPGAs, demonstraram ser possível testar 356.352 senhas por segundo em uma arquitetura onde 5.376 senhas são processadas em paralelo.

FPGA – Recente exemplo de quebra de senhas [DGK12]

- Devido ao **pequeno consumo de memória** do algoritmo PBKDF2, sendo que a maioria do funcionamento básico envolve a função SHA-2, que é realizada usando o cache de memória do dispositivo (muito mais rápido do que o DRAM) [DGK12, Sec. 4.2];
- Dürmuth *et al*, usando um cluster RIVYERA S3-5000 [Sci] com 128 FPGAs, demonstraram ser possível testar 356.352 senhas por segundo em uma arquitetura onde 5.376 senhas são processadas em paralelo.

Todavia – assim como no exemplo das GPUs – **se algum PHS que utilize 20 MB de RAM** for utilizado no lugar da função de PBKDF2, o número máximo de senhas será drasticamente reduzido.

No exemplo em questão, somente 3 senhas poderiam ser processados em paralelo, já que os FPGAs envolvidos dispõem de 64 MB de RAM.

Agenda

- 1 Introdução
 - Entropia
 - Ataque de força bruta
 - Tabelas de consulta
- 2 Plataformas de Ataque
 - *Graphics Processing Units (GPUs)*
 - *Field Programmable Gate Arrays (FPGAs)*
- 3 Complexidade de Alguns Ataques
 - PBKDF2
 - BCrypt
 - SCrypt
 - Lyra
- 4 Considerações Finais
 - PHS ao longo dos anos
 - Funções utilizadas internamente
 - Conclusões

PBKDF2

Algorithm PBKDF2.

INPUT: *pwd* ▷ The password

INPUT: *salt* ▷ The salt

INPUT: *T* ▷ The user-defined parameter

OUTPUT: *K* ▷ The password-derived key

```
1: if  $k > (2^{32} - 1) \cdot h$  then
2:   return Derived key too long.
3: end if
4:  $l \leftarrow \lceil k/h \rceil$  ;  $r \leftarrow k - (l - 1) \cdot h$ 
5: for  $i \leftarrow 1$  to  $l$  do
6:    $U[1] \leftarrow \text{PRF}(pwd, salt || INT(i))$  ▷ INT(i): 32-bit encoding of i
7:    $T[i] \leftarrow U[1]$ 
8:   for  $j \leftarrow 2$  to  $T$  do
9:      $U[j] \leftarrow \text{PRF}(pwd, U[j - 1])$  ;  $T[i] \leftarrow T[i] \oplus U[j]$ 
10:  end for
11:  if  $i = 1$  then  $K \leftarrow T[1]$  else  $K \leftarrow K || T[i]$  end if
12: end for
13: return  $K$ 
```

Onde:

k corresponde ao tamanho desejado para a chave gerada pelo PBKDF2; e

h corresponde ao tamanho da saída da função utilizada internamente.

PBKDF2

Algorithm PBKDF2.

INPUT: *pwd* ▷ The password

INPUT: *salt* ▷ The salt

INPUT: *T* ▷ The user-defined parameter

OUTPUT: *K* ▷ The password-derived key

```

1: if  $k > (2^{32} - 1) \cdot h$  then
2:   return Derived key too long.
3: end if
4:  $l \leftarrow \lceil k/h \rceil$  ;  $r \leftarrow k - (l - 1) \cdot h$ 
5: for  $i \leftarrow 1$  to  $l$  do
6:    $U[1] \leftarrow \text{PRF}(pwd, salt || \text{INT}(i))$  ▷ INT(i): 32-bit encoding of i
7:    $T[i] \leftarrow U[1]$ 
8:   for  $j \leftarrow 2$  to  $T$  do
9:      $U[j] \leftarrow \text{PRF}(pwd, U[j - 1])$  ;  $T[i] \leftarrow T[i] \oplus U[j]$ 
10:  end for
11:  if  $i = 1$  then  $K \leftarrow T[1]$  else  $K \leftarrow K || T[i]$  end if
12: end for
13: return K

```

Onde:

k corresponde ao tamanho desejado para a chave gerada pelo PBKDF2; e

h corresponde ao tamanho da saída da função utilizada internamente.

PBKDF2 – Resumo

Seja,

- τ a quantidade de memória utilizada pelas variáveis do sistema.

Ataques					
PBKDF2	Sequencial (Padrão)		Estágios Intermediários		Sem memória*
	Memória $O(\tau)$	Tempo $O(l.T)$	Memória -	Tempo -	Tempo -

Tabela: Complexidade dos ataques aplicáveis ao PBKDF2.

BCRYPT

Algorithm Bcrypt.

INPUT: *pwd* ▷ The password

INPUT: *salt* ▷ The salt

INPUT: *T* ▷ The user-defined cost parameter]

OUTPUT: *K* ▷ The password-derived key

```

1:  $s \leftarrow \text{InitState}()$  ▷ Copies the digits of  $\pi$  into the sub-keys and S-boxes  $S_i$ 
2:  $s \leftarrow \text{ExpandKey}(s, \text{salt}, \text{pwd})$ 
3: for  $i \leftarrow 1$  to  $2^T$  do
4:    $s \leftarrow \text{ExpandKey}(s, 0, \text{salt})$  ;  $s \leftarrow \text{ExpandKey}(s, 0, \text{pwd})$ 
5: end for
6:  $\text{c}text \leftarrow \text{"OrpheanBeholderScryDoubt"}$ 
7: for  $i \leftarrow 1$  to 64 do {  $\text{c}text \leftarrow \text{BlowfishEncrypt}(s, \text{c}text)$  } end for
8: return  $T \parallel \text{salt} \parallel \text{c}text$ 

9: function EXPANDKEY( $s, \text{salt}, \text{pwd}$ )
10:   for  $i \leftarrow 1$  to 32 do {  $P_i \leftarrow P_i \oplus \text{pwd}[32 * (i - 1) \dots 32 * i - 1]$  } end for
11:   for  $i \leftarrow 1$  to 9 do
12:      $\text{temp} \leftarrow \text{BlowfishEncrypt}(s, \text{salt}[64 * (i - 1) \dots 64 * i - 1])$ 
13:      $P_{0+(i-1)*2} \leftarrow \text{temp}[0 \dots 31]$  ;  $P_{1+(i-1)*2} \leftarrow \text{temp}[32 \dots 64]$ 
14:   end for
15:   for  $i \leftarrow 1$  to 4 do
16:     for  $j \leftarrow 1$  to 128 do
17:        $\text{temp} \leftarrow \text{BlowfishEncrypt}(s, \text{salt}[64 * (j - 1) \dots 64 * j - 1])$ 
18:        $S_i[(j - 1) * 2] \leftarrow \text{temp}[0 \dots 31]$  ;  $S_i[1 + (j - 1) * 2] \leftarrow \text{temp}[32 \dots 63]$ 
19:     end for
20:   end for
21:   return  $s$ 
22: end function

```

BCRYPT

Algorithm Bcrypt.

INPUT: *pwd* ▷ The passwordINPUT: *salt* ▷ The saltINPUT: *T* ▷ The user-defined cost parameter]OUTPUT: *K* ▷ The password-derived key1: $s \leftarrow \text{InitState}()$ ▷ Copies the digits of π into the sub-keys and S-boxes S_i 2: $s \leftarrow \text{ExpandKey}(s, \text{salt}, \text{pwd})$ 3: **for** $i \leftarrow 1$ **to** 2^T **do**4: $s \leftarrow \text{ExpandKey}(s, 0, \text{salt})$; $s \leftarrow \text{ExpandKey}(s, 0, \text{pwd})$ 5: **end for**6: $\text{ciphertext} \leftarrow \text{"OrpheanBeholderScryDoubt"}$ 7: **for** $i \leftarrow 1$ **to** 64 **do** { $\text{ciphertext} \leftarrow \text{BlowfishEncrypt}(s, \text{ciphertext})$ } **end for**8: **return** $T \parallel \text{salt} \parallel \text{ciphertext}$ 9: **function** $\text{EXPANDKEY}(s, \text{salt}, \text{pwd})$ 10: **for** $i \leftarrow 1$ **to** 32 **do** { $P_i \leftarrow P_i \oplus \text{pwd}[32 * (i - 1) \dots 32 * i - 1]$ } **end for**11: **for** $i \leftarrow 1$ **to** 9 **do**12: $\text{temp} \leftarrow \text{BlowfishEncrypt}(s, \text{salt}[64 * (i - 1) \dots 64 * i - 1])$ 13: $P_{0+(i-1)*2} \leftarrow \text{temp}[0 \dots 31]$; $P_{1+(i-1)*2} \leftarrow \text{temp}[32 \dots 63]$ 14: **end for**15: **for** $i \leftarrow 1$ **to** 4 **do**16: **for** $j \leftarrow 1$ **to** 128 **do**17: $\text{temp} \leftarrow \text{BlowfishEncrypt}(s, \text{salt}[64 * (j - 1) \dots 64 * j - 1])$ 18: $S_i[(j - 1) * 2] \leftarrow \text{temp}[0 \dots 31]$; $S_i[1 + (j - 1) * 2] \leftarrow \text{temp}[32 \dots 63]$ 19: **end for**20: **end for**21: **return** s 22: **end function** 2^T $\approx 2^9 \cdot 2^T + 2^6$ 2^6 2^5

9

 2^2 $2^2 \cdot 2^7$

BCRYPT – Resumo

Sejam,

- τ a quantidade de memória utilizada pelas variáveis do sistema;
- β os 4 KBytes de memória utilizados pelas S-Boxes e sub-chaves do algoritmo Blowfish [PM99].

Ataques					
BCRYPT	Sequencial (Padrão)		Estágios Intermediários		Sem memória*
	Memória $O(\tau + \beta)$	Tempo $O(2^{9+T})$	Memória -	Tempo -	Tempo -

Tabela: Complexidade dos ataques aplicáveis ao BCRYPT.

SCRYPT

Algorithm Scrypt.

PARAM: h ▷ The output length of *BlockMix*'s internal hash function

INPUT: pwd ▷ The password

INPUT: $salt$ ▷ A random salt

INPUT: k ▷ The key length

INPUT: b ▷ The block size, satisfying $b = 2r \cdot h$

INPUT: R ▷ Cost parameter (memory usage and processing time)

INPUT: p ▷ Parallelism parameter

OUTPUT: K ▷ The password-derived key

1: $(B_0 \dots B_{p-1}) \leftarrow \text{PBKDF2}_{\text{HMAC-SHA-256}}(pwd, salt, 1, p \cdot b)$

2: **for** $i \leftarrow 0$ **to** $p - 1$ **do** { $B_i \leftarrow \text{ROMix}(B_i, R)$ } **end for**

3: $K \leftarrow \text{PBKDF2}_{\text{HMAC-SHA-256}}(pwd, B_0 || B_1 || \dots || B_{p-1}, 1, k)$

4: **return** K ▷ Outputs the k -long key

5: **function** $\text{ROMix}(B, R)$ ▷ Sequential memory-hard function

6: $X \leftarrow B$

7: **for** $i \leftarrow 0$ **to** $R - 1$ **do** ▷ Initializes memory array V

8: $V_i \leftarrow X$; $X \leftarrow \text{BlockMix}(X)$

9: **end for**

10: **for** $i \leftarrow 0$ **to** $R - 1$ **do** ▷ Reads random positions of V

11: $j \leftarrow \text{Integerify}(X) \bmod R$; $X \leftarrow \text{BlockMix}(X \oplus V_j)$

12: **end for**

13: **return** X

14: **end function**

15: **function** $\text{BLOCKMIX}(B)$ ▷ Hash function with $(b\text{-long})$ inputs/outputs

16: $Z \leftarrow B_{2r-1}$ ▷ $r = b/2h$, where $h = 512$ for Salsa20/8

17: **for** $i \leftarrow 0$ **to** $2r - 1$ **do** { $Z \leftarrow \text{Hash}(Z \oplus B_i)$; $Y_i \leftarrow Z$ } **end for**

18: **return** $(Y_0, Y_2, \dots, Y_{2r-2}, Y_1, Y_3, Y_{2r-1})$

19: **end function**

SCRYPT – Sequencial (Padrão)

Algorithm Scrypt.

PARAM: h ▷ The output length of *BlockMix*'s internal hash function

INPUT: pwd ▷ The password

INPUT: $salt$ ▷ A random salt

INPUT: k ▷ The key length

INPUT: b ▷ The block size, satisfying $b = 2r \cdot h$

INPUT: R ▷ Cost parameter (memory usage and processing time)

INPUT: p ▷ Parallelism parameter

OUTPUT: K ▷ The password-derived key

1: $(B_0 \dots B_{p-1}) \leftarrow \text{PBKDF2}_{\text{HMAC-SHA-256}}(pwd, salt, 1, p \cdot b)$

2: **for** $i \leftarrow 0$ **to** $p-1$ **do** $\{ B_i \leftarrow \text{ROMix}(B_i, R) \}$ **end for**

3: $K \leftarrow \text{PBKDF2}_{\text{HMAC-SHA-256}}(pwd, B_0 || B_1 || \dots || B_{p-1}, 1, k)$

4: **return** K ▷ Outputs the k -long key

5: **function** $\text{ROMix}(B, R)$ ▷ Sequential memory-hard function

6: $X \leftarrow B$

7: **for** $i \leftarrow 0$ **to** $R-1$ **do** ▷ Initializes memory array V

8: $V_i \leftarrow X$; $X \leftarrow \text{BlockMix}(X)$

9: **end for**

10: **for** $i \leftarrow 0$ **to** $R-1$ **do** ▷ Reads random positions of V

11: $j \leftarrow \text{Integerify}(X) \bmod R$; $X \leftarrow \text{BlockMix}(X \oplus V_j)$

12: **end for**

13: **return** X

14: **end function**

15: **function** $\text{BLOCKMIX}(B)$ ▷ Hash function with $(b\text{-long})$ inputs/outputs

16: $Z \leftarrow B_{2r-1}$ ▷ $r = b/2h$, where $h = 512$ for Salsa20/8

17: **for** $i \leftarrow 0$ **to** $2r-1$ **do** $\{ Z \leftarrow \text{Hash}(Z \oplus B_i)$; $Y_i \leftarrow Z$ **}** **end for**

18: **return** $(Y_0, Y_2, \dots, Y_{2r-2}, Y_1, Y_3, Y_{2r-1})$

19: **end function**

Memória $\approx p \cdot R \cdot 2r$

Processamento $\approx p \cdot R \cdot 2r$

p

R

R

$2r$

SCRYPT – Sem memória*

Algorithm Scrypt.

PARAM: h ▷ The output length of *BlockMix*'s internal hash function

INPUT: pwd ▷ The password

INPUT: $salt$ ▷ A random salt

INPUT: k ▷ The key length

INPUT: b ▷ The block size, satisfying $b = 2r \cdot h$

INPUT: R ▷ Cost parameter (memory usage and processing time)

INPUT: p ▷ Parallelism parameter

OUTPUT: K ▷ The password-derived key

Processamento $\approx p.R.R.2r$

1: $(B_0 \dots B_{p-1}) \leftarrow \text{PBKDF2}_{\text{HMAC-SHA-256}}(pwd, salt, 1, p \cdot b)$

2: **for** $i \leftarrow 0$ **to** $p-1$ **do** $\{ B_i \leftarrow \text{ROMix}(B_i, R) \}$ **end for**

3: $K \leftarrow \text{PBKDF2}_{\text{HMAC-SHA-256}}(pwd, B_0 || B_1 || \dots || B_{p-1}, 1, k)$

4: **return** K ▷ Outputs the k -long key

5: **function** $\text{ROMix}(B, R)$ ▷ Sequential memory-hard function

6: $X \leftarrow B$

7: **for** $i \leftarrow 0$ **to** $R-1$ **do** ▷ Initializes memory array V

8: $V_i \leftarrow X$; $X \leftarrow \text{BlockMix}(X)$

9: **end for**

10: **for** $i \leftarrow 0$ **to** $R-1$ **do** ▷ Reads random positions of V

11: $j \leftarrow \text{Integerify}(X) \bmod R$; $X \leftarrow \text{BlockMix}(X \oplus V_j)$

12: **end for**

13: **return** X

14: **end function**

15: **function** $\text{BLOCKMIX}(B)$ ▷ Hash function with $(b\text{-long})$ inputs/outputs

16: $Z \leftarrow B_{2r-1}$ ▷ $r = b/2h$, where $h = 512$ for Salsa20/8

17: **for** $i \leftarrow 0$ **to** $2r-1$ **do** $\{ Z \leftarrow \text{Hash}(Z \oplus B_i)$; $Y_i \leftarrow Z$ $\}$ **end for**

18: **return** $(Y_0, Y_2, \dots, Y_{2r-2}, Y_1, Y_3, Y_{2r-1})$

19: **end function**

2r

SCRYPT – Resumo

Ataques					
SCRYPT	Sequencial (Padrão)		Estágios Intermediários		Sem memória*
	Memória $O(R)$	Tempo $O(R)$	Memória -	Tempo -	Tempo $O(R^2)$

Tabela: Complexidade dos ataques aplicáveis ao SCRYPT.

Lyra

Algorithm The Lyra Algorithm.

PARAM: *Hash* ▷ Sponge with block size b (in bits) and underlying permutation f

PARAM: ρ ▷ Number of rounds of f during the Setup and Wandering phases

INPUT: *pwd* ▷ The password

INPUT: *salt* ▷ A random salt

INPUT: T ▷ Time cost, in number of iterations

INPUT: R ▷ Number of rows in the memory matrix

INPUT: C ▷ Number of columns in the memory matrix

INPUT: k ▷ The desired key length, in bits

OUTPUT: K ▷ The password-derived k -long key

1: ▷ Setup phase: Initializes a $(R \times C)$ memory matrix whose cells have b bits each

2: $\text{Hash.absorb}(\text{pad}(\text{pwd} \parallel \text{salt}))$ ▷ Padding rule: 10^*1

3: **for** $\text{row} \leftarrow 1$ **to** $R - 1$ **do**

4: $M[\text{row}] \leftarrow \text{Hash.squeeze}_\rho(C \cdot b)$

5: **end for**

6: ▷ Wandering phase: Iteratively overwrites blocks of the memory matrix

7: $\text{row} \leftarrow 0$

8: **for** $i \leftarrow 0$ **to** $T - 1$ **do** ▷ Time Loop

9: **for** $j \leftarrow 0$ **to** $R - 1$ **do** ▷ Rows Loop: randomly visits R rows

10: **for** $\text{col} \leftarrow 0$ **to** $C - 1$ **do** ▷ Columns Loop: visits blocks in row

11: $M[\text{row}][\text{col}] \leftarrow M[\text{row}][\text{col}] \oplus \text{Hash.duplexing}_\rho(M[\text{row}][\text{col}], b)$

12: **end for**

13: $\text{row} \leftarrow \text{Hash.duplexing}((M[\text{row}][C - 1] \bmod C), |\text{row}|) \bmod R$

14: **end for**

15: **end for**

16: ▷ Wrap-up phase: key computation

17: $\text{Hash.absorb}(\text{pad}(\text{pwd} \parallel \text{salt}))$ ▷ Uses the sponge's current state

18: $K \leftarrow \text{Hash.squeeze}(k)$

19: **return** K ▷ Outputs the k -long key

Lyra – Sequencial (Padrão)

Algorithm The Lyra Algorithm.

PARAM: *Hash* ▷ Sponge with block size b (in bits) and underlying permutation f

PARAM: ρ ▷ Number of rounds of f during the Setup and Wandering phases

INPUT: *pwd* ▷ The password

INPUT: *salt* ▷ A random salt

INPUT: T ▷ Time cost, in number of iterations

INPUT: R ▷ Number of rows in the memory matrix

INPUT: C ▷ Number of columns in the memory matrix

INPUT: k ▷ The desired key length, in bits

OUTPUT: K ▷ The password-derived k -long key

1: ▷ Setup phase: Initializes a $(R \times C)$ memory matrix whose cells have b bits each

2: *Hash.absorb*(*pad(pwd || salt)*) ▷ Padding rule: 10^*1

3: for *row* $\leftarrow 1$ to $R - 1$ do

4: *M*[*row*] \leftarrow *Hash.squeeze* $_{\rho}(C \cdot b)$

5: end for

$R \cdot C$

6: ▷ Wandering phase: Iteratively overwrites blocks of the memory matrix

7: *row* $\leftarrow 0$

8: for *i* $\leftarrow 0$ to $T - 1$ do ▷ Time Loop

9: for *j* $\leftarrow 0$ to $R - 1$ do ▷ Rows Loop: randomly visits R rows

10: for *col* $\leftarrow 0$ to $C - 1$ do ▷ Columns Loop: visits blocks in row

11: *M*[*row*][*col*] \leftarrow *M*[*row*][*col*] \oplus *Hash.duplexing* $_{\rho}(M[row][col], b)$

12: end for

13: *row* \leftarrow *Hash.duplexing*((*M*[*row*][$C - 1$] mod C), |*row*|) mod R

14: end for

15: end for

T

R

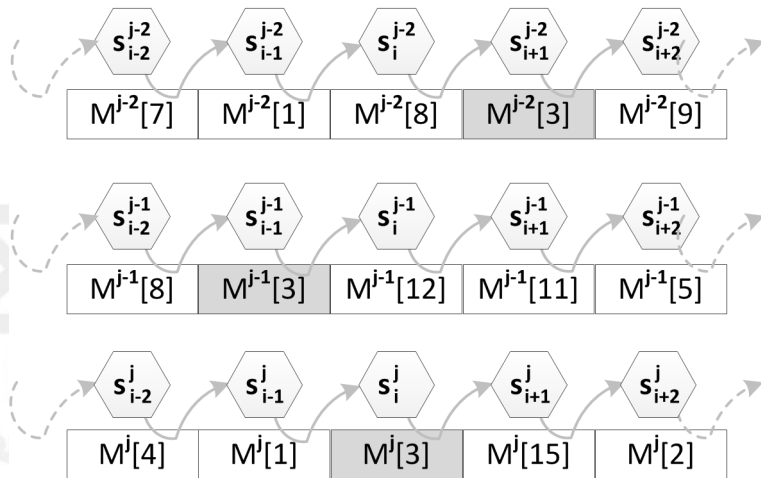
16: ▷ Wrap-up phase: key computation

17: *Hash.absorb*(*pad(pwd || salt)*) ▷ Uses the sponge's current state

18: $K \leftarrow$ *Hash.squeeze*(k)

19: return K ▷ Outputs the k -long key

Lyra – Estágios Intermediários



Lyra – Estágios Intermediários

Algorithm The Lyra Algorithm.

PARAM: *Hash* ▷ Sponge with block size b (in bits) and underlying permutation f

PARAM: ρ ▷ Number of rounds of f during the Setup and Wandering phases

INPUT: *pwd* ▷ The password

INPUT: *salt* ▷ A random salt

INPUT: T ▷ Time cost, in number of iterations

INPUT: R ▷ Number of rows in the memory matrix

INPUT: C ▷ Number of columns in the memory matrix

INPUT: k ▷ The desired key length, in bits

OUTPUT: K ▷ The password-derived k -long key

Processamento $\approx (R+T).R.T/2$

Memória $\approx R.(T-1)$

1: ▷ Setup phase: Initializes a $(R \times C)$ memory matrix whose cells have b bits each

2: *Hash.absorb*(*pad(pwd || salt)*) ▷ Padding rule: 10^*1

3: for $row \leftarrow 1$ to $R-1$ do

4: $M[row] \leftarrow Hash.squeeze_{\rho}(C \cdot b)$

5: end for

6: ▷ Wandering phase: Iteratively overwrites blocks of the memory matrix

7: $row \leftarrow 0$

8: for $i \leftarrow 0$ to $T-1$ do ▷ Time Loop

9: for $j \leftarrow 0$ to $R-1$ do ▷ Rows Loop: randomly visits R rows

10: for $col \leftarrow 0$ to $C-1$ do ▷ Columns Loop: visits blocks in row

11: $M[row][col] \leftarrow M[row][col] \oplus Hash.duplexing_{\rho}(M[row][col], b)$

12: end for

13: $row \leftarrow Hash.duplexing((M[row][C-1] \bmod C), |row| \bmod R)$

14: end for

15: end for

16: ▷ Wrap-up phase: key computation

17: *Hash.absorb*(*pad(pwd || salt)*) ▷ Uses the sponge's current state

18: $K \leftarrow Hash.squeeze(k)$

19: return K ▷ Outputs the k -long key

T

R

Lyra – Sem memória*

Algorithm The Lyra Algorithm.

PARAM: *Hash* ▷ Sponge with block size b (in bits) and underlying permutation f

PARAM: ρ ▷ Number of rounds of f during the Setup and Wandering phases

INPUT: *pwd* ▷ The password

INPUT: *salt* ▷ A random salt

INPUT: T ▷ Time cost, in number of iterations

INPUT: R ▷ Number of rows in the memory matrix

INPUT: C ▷ Number of columns in the memory matrix

INPUT: k ▷ The desired key length, in bits

OUTPUT: K ▷ The password-derived k -long key

Processamento $\approx R \cdot (R/2)^T$

1: ▷ Setup phase: Initializes a $(R \times C)$ memory matrix whose cells have b bits each

2: *Hash.absorb*(*pad(pwd || salt)*) ▷ Padding rule: 10^*1

3: for $row \leftarrow 1$ to $R - 1$ do

4: $M[row] \leftarrow Hash.squeeze_\rho(C \cdot b)$

5: end for

6: ▷ Wandering phase: Iteratively overwrites blocks of the memory matrix

7: $row \leftarrow 0$

8: for $i \leftarrow 0$ to $T - 1$ do ▷ Time Loop

9: for $j \leftarrow 0$ to $R - 1$ do ▷ Rows Loop: randomly visits R rows

10: for $col \leftarrow 0$ to $C - 1$ do ▷ Columns Loop: visits blocks in row

11: $M[row][col] \leftarrow M[row][col] \oplus Hash.duplexing_\rho(M[row][col], b)$

12: end for

13: $row \leftarrow Hash.duplexing((M[row][C - 1] \bmod C), |row|) \bmod R$

14: end for

15: end for

16: ▷ Wrap-up phase: key computation

17: *Hash.absorb*(*pad(pwd || salt)*) ▷ Uses the sponge's current state

18: $K \leftarrow Hash.squeeze(k)$

19: return K ▷ Outputs the k -long key

Lyra – Resumo

Ataques					
Lyra	Sequencial (Padrão)		Estágios Intermediários		Sem memória*
	Memória $O(R.C)$	Tempo $O(R.T)$	Memória $O(R.T)$	Tempo $O(R^2.T + R.T^2)$	Tempo $O(R^{T+1})$

Tabela: Complexidade dos ataques aplicáveis ao Lyra.

Resumo

Sejam,

- τ a quantidade de memória utilizada pelas variáveis do sistema;
- β os 4 KBytes de memória utilizados pelas S-Boxes e sub-chaves do algoritmo Blowfish [PM99].

Ataques

	Sequencial (Padrão)		Estágios Intermediários		Sem memória*
	Memória $O(\tau)$	Tempo $O(l.T)$	Memória -	Tempo -	Tempo -
PBKDF2					
BCRYPT	$O(\tau + \beta)$	$O(2^{9+T})$	-	-	-
SCRYPT	$O(R)$	$O(R)$	-	-	$O(R^2)$
Lyra	$O(R.C)$	$O(R.T)$	$O(R.T)$	$O(R^2.T + R.T^2)$	$O(R^{T+1})$

Tabela: Complexidade dos ataques aplicáveis aos principais PHSs.

Agenda

- 1 Introdução
 - Entropia
 - Ataque de força bruta
 - Tabelas de consulta
- 2 Plataformas de Ataque
 - *Graphics Processing Units (GPUs)*
 - *Field Programmable Gate Arrays (FPGAs)*
- 3 Complexidade de Alguns Ataques
 - PBKDF2
 - BCrypt
 - SCrypt
 - Lyra
- 4 **Considerações Finais**
 - PHS ao longo dos anos
 - Funções utilizadas internamente
 - Conclusões

PHS ao longo dos anos

- 60's

armazenar: *"password"*

- 70's

armazenar: *hash("password")*

- final dos 70's, 80's e meados dos 90's

armazenar: *hash("password", salt)*

- 2000's ...

armazenar: *hash("password", salt, cost)*

Funções utilizadas internamente

- A segurança da função de derivação de chave está diretamente ligada à segurança da função utilizada internamente;
- A função de *hash* SHA-1 adotado pelo algoritmo PBKDF2 e a função de *hash* Salsa20/8 adotada pelo algoritmo SCRYPT **possuem vulnerabilidades** conhecidas [WYY05, AFK⁺08];
- Enquanto a função esponja BLAKE2 adotada pelo Lyra **permanece segura** [MQZ10].

Conclusões

- Esquemas de Hash de Senhas (PHSs) modernos permitem aos usuários legítimos **ajustar**, de acordo com sua necessidade, os **custos de memória e processamento** conforme o nível de segurança e os recursos disponíveis na plataforma de destino;
- Existem soluções modernas extremamente interessantes e viáveis:
 - **Argon2**
 - Catena
 - Lyra2
 - Makwa
 - yescrypt

Dúvidas?



Referências I



J-P. Aumasson, S. Fischer, S. Khazaei, W. Meier e C. Rechberger.

New features of latin dances: Analysis of Salsa, ChaCha, and Rumba.

Em *Fast Software Encryption*, volume 5084, páginas 470–488, Berlin, Heidelberg, 2008. Springer-Verlag.



W. Burr, D. Dodson e W. Polk.

Information security.

Recommendations of the National Institute of Standards and Technology, 2006.

http://csrc.nist.gov/publications/nistpubs/800-63/SP800-63V1_0_2.pdf.



A. Conklin, G. Dietrich e D. Walz.

Password-based authentication: A system perspective.

Em *Proc. of the 37th Annual Hawaii International Conference on System Sciences (HICSS'04)*, volume 7 of *HICSS'04*, páginas 170–179, Washington, DC, USA, 2004. IEEE Computer Society.



Eric S. Chung, Peter A. Milder, James C. Hoe e Ken Mai.

Single-chip heterogeneous computing: Does the future include custom logic, FPGAs, and GPGPUs?

Em *Proc. of the 43rd Annual IEEE/ACM International Symposium on Microarchitecture, MICRO'43*, páginas 225–236, Washington, DC, USA, 2010. IEEE Computer Society.



Yoginder S. Dandass.

Using FPGAs to parallelize dictionary attacks for password cracking.

Em *Proc. of the 41st Annual Hawaii International Conference on System Sciences (HICSS 2008)*, páginas 485–485. IEEE, 2008.



Markus Dürmuth, Tim Güneysu e Markus Kasper.

Evaluation of standardized password-based key derivation against parallel processing platforms.

Em *Computer Security—ESORICS 2012*, volume 7459 of *Lecture Notes in Computer Science*, páginas 716–733. Springer Berlin Heidelberg, 2012.

Referências II



Jeremy Fowers, Greg Brown, Patrick Cooke e Greg Stitt.

A performance and energy comparison of FPGAs, GPUs, and multicores for sliding-window applications.

Em *Proc. of the ACM/SIGDA international symposium on Field Programmable Gate Arrays*, FPGA'12, páginas 47–56, New York, NY, USA, 2012. ACM.



D. Florencio e C. Herley.

A large scale study of web password habits.

Em *Proc. of the 16th international conference on World Wide Web*, páginas 657–666, Alberta, Canada, 2007.



Khronos Group.

The OpenCL Specification – Version 1.2, 2012.



Athanasios P. Kakarountas, Haralambos Michail, Athanasios Milidonis, Costas E. Goutis e George Theodoridis.

High-speed FPGA implementation of secure hash algorithm for IPSec and VPN applications.

The Journal of Supercomputing, 37(2):179–195, 2006.



Mao Ming, He Qiang e Shaokun Zeng.

Security analysis of BLAKE-32 based on differential properties.

Em *Computational and Information Sciences (ICCIS), 2010 International Conference on*, páginas 783–786. IEEE, 2010.



Nvidia.

CUDA C programming guide.

<http://docs.nvidia.com/cuda/cuda-c-programming-guide/>, 2012.



Nvidia.

Tesla Kepler family product overview.

<http://www.nvidia.com/content/tesla/pdf/Tesla-KSeries-Overview-LR.pdf>, 2012.

Referências III



N. Provos e D. Mazières.

A future-adaptable password scheme.

Em *Proc. of the FREENIX track: 1999 USENIX annual technical conference*, 1999.



SciEngines.

Riviera s3-5000.

<http://sciengines.com/products/computers-and-clusters/riviera-s3-5000.html>.



Martijn Sprengers.

GPU-based password cracking: On the security of password hashing schemes regarding advances in graphics processing units.

Dissertação de Mestrado, Radboud University Nijmegen, 2011.



Xiaoyun Wang, Yiqun Lisa Yin e Hongbo Yu.

Finding collisions in the full SHA-1.

Em *Advances in Cryptology - CRYPTO 2005: 25th Annual International Cryptology Conference, Santa Barbara, California, USA, August 14-18, 2005, Proceedings*, volume 3621 of *Lecture Notes in Computer Science*, páginas 17–36. Springer, 2005.

Créditos

- A imagem utilizada como plano de fundo em todos os slides segue a licença de uso que consta em <http://www.unir.br> – © Fundação Universidade Federal de Rondônia;
- A imagem utilizada no slide de Dúvidas segue a licença de uso que consta em <http://pixabay.com> – © Creative Commons.